

scientific reports



AÇIK

Bir linyit ve yeşil bir komposttan elde edilen karakterize edilmiş hümik asitlerin antifamatuar aktivitesi ve potansiyel dermatolojik uygulamaları

Mariavittoria Verrillo^{1,3*}, Melania Parisi^{2,3}, Davide Savy¹, Giuseppina Caiazzo², Roberta DiCaprio², Maria Antonietta Luciano², Sara Cacciapuoti², Gabriella Fabbrocini^{2,3} & Alessandro Piccolo^{1,3*}

Hava kirliliğine uzun süreli maruz kalma cilt ile ilgili bazı enflamatuar süreçlerin gelişimi ile ilişkilendirilmiştir. Modern teknolojinin amacı, çevresel ve ekonomik sürdürülebilirlik iyileştirmek için doğal kaynaklardan elde edilen anti-inflamatuar etkiye sahip yeni ürünlerin geliştirilmesidir. Bu çalışmada, linyit (HA-LIG) ve kompost haline getirilmiş enginar atılarından (HA-CYN) iki farklı hümik asit (HA) izole edilmiş ve kimyasal ötesi spektrometri, NMR spektroskopisi, termokromatografi-GC/MS ve yüksek performanslı boyut ile karakterize edilmiştir. -dışlama kromatografisi (HPSEC), antifamatuar aktiviteleri HattaT hücreleri üzerinde değerlendirilirken, HA-LIG'de apolar alifatik ve aromatik bileşenlerin baskılılığı gösteren spektroskopik sonuçlar, HA-CYN'de ise polisakkaritlerin ve polifenolik lignin kalıntılarıının varlığı gösteren ortaya çıktı. Urban Dust ile ön işleme tabii tutulmuş insan keratinositi üzerindeki HA uygulaması, aromatik, fenolik ve lignin bileşenlerinin içeriğinden dolayı hümik maddenin koruyucu bir etkisi olduğunu düşündürün genel bir canlılığı ortaya çıktı.

Tersine, IL-6 ve IL-1 β sitokinlerinin gen ekspresyonu, HA-LIG uygulamasından sonra önemli bir düşüş gösterdi, dolayısıyla HA-CYN'den daha büyük bir antifamatuar güç sergiledi. HA koruyucu hidrofobik bileşenlerin, uygulanabilir konformasyonel düzenlemelerin ve biyoaktif moleküllerin içeriğinin özel kombinasyonu, hümik maddenin dermatolojide çevresel tahrîş edici maddelerden cilt koruyucuları ve antifamatuar maddeler olarak yenilikçi bir şekilde uygulanabilirliği ortaya koymaktadır.

Son yıllarda, küresel hava kalitesi, biyokütte yakma, endüstriyel operasyonlar ve araç emisyonları gibi insan faaliyetlerinin doğrudan bir etkisi olarak giderek artan bir düşüş göstermektedir. Daha çok türkmenistanlı ölümlerin %10'undan fazlasını temsil eden 3,7 milyon ölümde hava kirliliğinin karışımlı ortaya çıktı ve tahmin etti. Ve böylece hava kirliliğinin dünyadaki en büyük çevresel sağlık riski haline getirdi.

Son zamanlarda, büyük epidemiyolojik çalışmalar, hava kaynaklı kirliliğe maruz kalmanın solunum ve kardiyovasküler morbiditeyi artırıcı olduğunu belirledi^{4,5}. Ayrıca, uzun süreli hava kirliliğine maruz kalma, belirli kanserlerin gelişimi ile ilişkilendirilmiştir ve yaşlanma dahil olmak üzere çeşitli bazı süreçleri etkileyebilir ve sedef hastalığı, akne ve atopik dermatitin klinik belirtilerini artırır. Özellikle de kirlilik, zararlı bileşiklere maruz kalması (PM2.5 ve PM10), gaz halindeki kirletici kimyasalar, (karbon monoksit, nitrik oksitler, kükürtselikler, ozon, ağırlıklar) ve katı yakıtların tüketimi olarak iç mekan kirleticilerdir⁸. Hava kirliliği cilt hastalıklarıyla ilişkilendiren moleküler mekanizmalar henüz tam olarak anlaşılamamış olsada

¹Çevre, Tarsus Marmaris ve Yeni Malzemeler için Nükleer Manyetik Resonans için Bölümler Arası Araştırma Merkezi (CERMNU), Napoli Federico II Üniversitesi, Via Università 100, 80055 Portici, İtalya.
²Klinik Tıp ve Cerrahi Bölümü Napoli Federico II Üniversitesi, Napoli, İtalya. 3Bu yazarlar eşit katkıda bulunmuştur: Mariavittoria Verrillo, Melania Parisi, Gabriella Fabbrocini ve Alessandro Piccolo. *e-posta: mariavittoria.verrillo@unina.it; alessandro.piccolo@unina.it

%	Toplam C	Toplam N	Toplam	HC/N oranı	H/C oranı	
HA-LIG	56±2	2±0.04	4±1	32.67	0.86	
HA-PRE	29,1±2,2	2,52±0,0,3,79±0,2	13,44		1.53	

Tablo 1. HA-LIG ve HA-CYN'nin element bileşimi (%). Atom oranı

Anlaşıldığı üzere, birkaç *in vivo* çalışması, bu durumları n9 ortak bir faktör olarak enflamatuvar durumun ortayaçıktı *kişini* ve önemini vurgulamıştır. Özellikle infazmasome adı verilen bir multienzimatik kompleksinin aktivasyonunu, protein farnesyal sitokinlerin olgunlaşmasıyla teşvik ederek inflamatuvar yanıtları tetiklediği varsayılmıştır. Bu nedenle, derideki enflamatuvar belirteçlerin olası inhibisyonu, hava kırılığının toksik etkilerine karşı mükemmel bir savunmayı temsil edebilir[11]. Günümüzde modern teknolojinin amaçları arasında biri, geleneksel tedavileri tamamlayıcı halde gelen yenilikçi etkili tedavilerin çevresel ve ekonomik sürdürülebilirliği iyileştirmek için doğalgın kaynaklardan elde edilen anti-inflamatuar aktivitelere sahip yeni ürünlerin geliştirilmesidir[12].

Favonoidler ve polifenol türveleri gibi birçok doğalgın madde, enflamasyonun neden olduğu hasar üzerinde iyileştirici bir rol oynarken[13-15], steroid olmayan antifamatuar ajanları da kullanılmaktır, yan kontrollsüz bir reaksiyonu teşvik edebilir ve kardiyovasküler hastalıkların kadar gastrointestinal toksisite riskini de artırabilir[16]. Bu nedenle, enflamasyon süreçlerinin sonuçları da azaltmak ve hafifletmek için yenilikçi ürünlerin araştırımılmaması na artan bir önem verilmektedir. Bu bağlamda, hüük asitler (HA) gibi doğalgın organik türveler, kabul edilen antiviral, antimikrobiyal, profibrinolitik, antifamatuar ve östrojenik aktiviteler[17,18] nedeniyle tipi ve veterinerlik bilimi gibi farklı farmasötik alanlarda çeşitli uygulamalar bulmuştur. Ayrıca, bu biyoaktif moleküller, tarım ürünlerinden elde edilen yeşil kompost gibi geri dönüştürülmüş biyokütüllerden kolayca izole edilebilir, böylece döngüsel ekonomi çerçevesinde geri dönüştürülmüş biyokütüllerin değeri artar[18,19]. Hüük asitler gibi bazı hüük maddeler, dermatit ve sedef hastalığı, romatoid artrit ve egzamini na topikal tedavisinde kullanılmıştır[20,21]. Bazı bilimsel kanıtlar, hüük maddelerin uygulanması ile bir süperoksit dismutaz mekanizması da n aktivasyonu yoluyla sitokinlerin salınmasına veya hasarlı bölgelerdeki hücrelerin güçlendirme yapılmaması arasında bir ilişki göstermiş olsada, doğalgın yapı aktivitesi net bir şekilde açıklanamamıştır[22].

Bu çalışmanın amacı, HaCaT hücrelerinin atmosferik partikül maddeye maruz kalması da takiben, linyit ve kompost haline getirilmiş enginar atılarından ekstrakte edilen iki farklı hüük asitin antifamatuar etkileri olarak değerlendirilmektedir. Hüük malzemelerin moleküllerin özellikleri, biyoaktif bileşenlerin hakkı da fikir edinmek ve potansiyel dermatolojik uygulamalarının moleküler temellerini kapsamlı bir şekilde anlamak için ayrıntılı olarak analiz edildi.

Sonuçlar ve tartışma HA-LIG

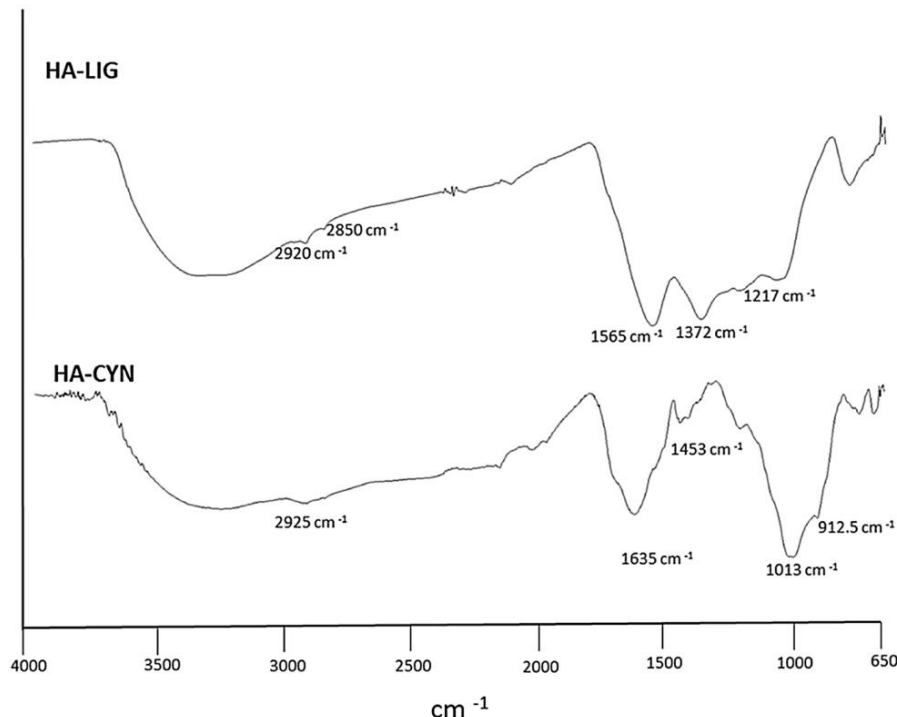
ve HA-CYN'deki element içeriği. Hüük asitlerin temel bileşimi, jeokimyasal olarak türetilmiş HA-LIG'de önemli ölçüde daha büyük bir C içeriği (%56) ortaya koymakta, C/N oranı, nitrojen içeren bileşiklerin (örn: peptidler) HA-CYN'ye tercihli dahil edilmesini vurguladı. (Tablo 1). Te H/C değerleri, sırasıyla HA-LIG ve HA-CYN'de tercihen aromatik ve alifatik olan apolar bileşenlerin her iki HA'da da yayıldığı olarak korunduğuunu gösterdi (Tablo 1).

Kızılı ötesi spektroskopisi. HA-LIG ve HA-CYN'nin ATR spektrumları, O-H ve N-H gerilme titreşimlerine atanmış 3200-3400 cm⁻¹ aralığında yetersiz tanısal geniş bantlar gösterdi (Şekil 1). Her iki HA numunesi, uzun zincirli alkil bileşiklerinde CH₂ ve CH₃ grupları da simetrik ve asimetrik gerilme titreşimiyle ilişkili 2850 ve 2920 cm⁻¹deki omuzlarla karakterize edildi. İki HA arasındaki ana kızılı ötesi farklar, daha küçük dalga sayıları da gösterildi (Şekil 1). HA-LIG spektrumunda 1565 cm⁻¹deki belirgin pik, aromatik yapılarındaki halka titreşimleriyle ilişkiliken, 1372 ve 1217 cm⁻¹'lik daha az yoğun sinyal sunan eterlerin ve fenolik bileşiklerin C=O bükülmesine atınlıştı[24]. HA-CYN spektrumunda, yaklaşık 1635 cm⁻¹deki keskin geniş bant, hem alkanoik asitlerin karboksilat grupları da C=O gerilme titreşimlerini hem de konjugate ve konjugate olmayan çift C=C bağları da na titreşimlerini içerebilir[23,25]. 1450 ve 1220 cm⁻¹deki küçük sinyaller, sırasıyla alkil zincirleri ve fenolik bileşenlerdeki C-H ve C-O grupları da bunların bükülmesinden kaynaklanır. Son olarak, yeşil komposttan elde edilen HA-CYN'ye karbonhidrat türvelerinin geniş bir şekilde dahil edilmesi, piranosid halkaları da alkol fonksiyonları da C-O gerilmeleri nedeniyle 1013 cm⁻¹ civarında yoğun bant ile belirtilmiştir[25].

Sıralı Pyr-TMAH-GC-MS. HA-LIG pirogramı, neredeyse yalnızca alkil ve aromatik apolar bileşenlerle karakterize edilen, jeokimyasal kökenli tipik bir hüük asit profili ortayaçıktı (Şekil S1)[26]. Spektrumun ilk bölümünde tanımlanan ana aromatik moleküller, benzen, toluen, m- ve p-ksilol, stiren, naftalin ve alkil-naftalin, fenolik yapıları, lignin bileşikleri ve benzoik asitlerle ilişkiliydi.

Daha uzun tutma sürelерindeki tepe noktaları, alkanoik asitlerin uzun alkil zincirlerine ve alkan/alken çiftlerine atınlıştı (Tablo S1). HA-LIG verileri, sunan seçici olarak korunan apolar fraksiyonları na termal bozunma ürünlerine atfedilen uzun alkil zincirleri ve aromatik kisimlar ile ana hidrofobik özelliklerini ortayaçıktı. Bu bileşenler, jeo-organik çökeltilerin birikme süreçleri sırasında doğalgın bileşiklerin gelişmiş yapısal modifikasiyonundan kaynaklanmaktadır[27].

HA-CYN'nin pirogramı, esas olarak lignin parçaları da na ester ve eter türvelerinden ve doğrusal ve dallılı zıncırı yağ asitlerinden, ardından biopolyesterler, karbonhidrat türveleri ve N- içeren bileşiklerden oluşuyordu (Tablo S2). En bol bulunan lignin monomerleri, hem di- hem de tri-metoksinsin oksitlenmiş ürünleri idi.



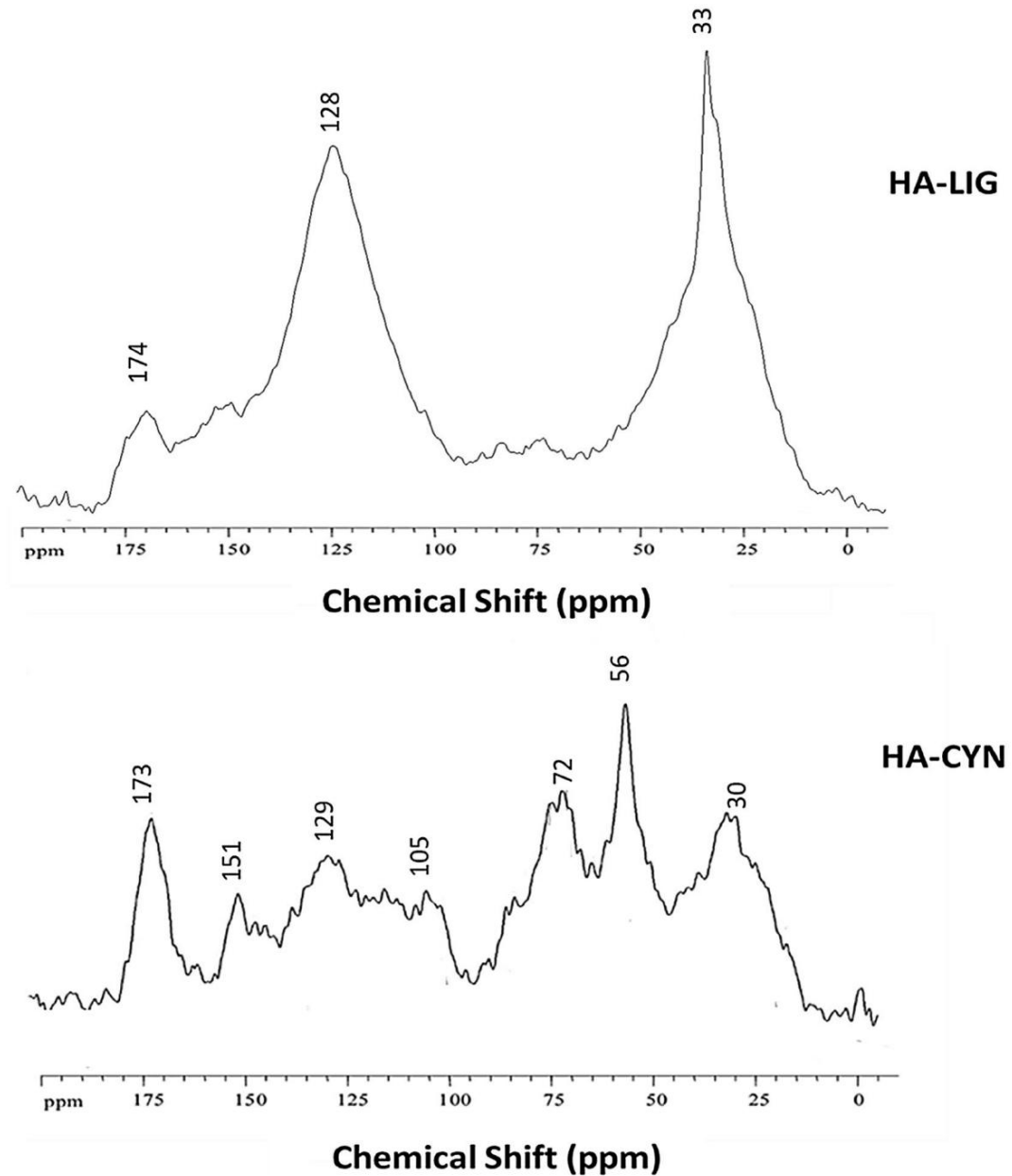
Şekil 1. Linyitten (HA-LIG) ve enginar kalīntı̄ları̄ndan (HA-CYN) yapı̄lan yeşil komposttan Hümik asitlerin FTIR-ATR spektrumları .

ana bileşenler olarak aldehidik-, ketonik-, benzoik-asit ve benzen-propenoik asitlerin fenilpropan molekülleri (Şekil S1; Tablo S2). Bu bulgu, daha az dēiştirilmiş lignin birimlerinin daha düşük verimleri ile birleştīğinde kompostlanmış bitki artı̄ kları̄ ndan elde edilen biyo-elverişlī lignin parçaları̄ nı̄n HA-CYN'ye yaygı̄n olarak dahil edildiği inī gösterdi^{18,19,25}. Uzun zincirli alkanoik asitlerin geniş yelpazesinde (Tablo S1), en büyük bolluk, her yerde bulunan hekzade kanoik ve oktadecanoik homologları̄ nı̄kyidi, oysa çift karbonlu doğrusal zincirlerin yaygı̄nılı̄ ğı̄ bir bitki kökenini gösteren HA-CYN pirogramı̄ nda bulunan dallı̄ zincirli yağ asitlerinin varlığı̄, HA-CYN'nin ekstrakte edildiği ī olgun kompostta oluşan doğrusal mikrobiyal bileşenlerle ilişkilidir²⁵. HA-LIG ile ilgili olarak, HA-CYN'deki polar bileşiklerin bolluğū, mono- ve oligosakarit bileşenlerinin metilenlenmiş formları̄ nı̄ ve peptit, indol ve pirolütrevleri gibi nitrojenlenmiş bileşikleri içерir (Tablo S2).

¹³C-CPMAS NMR spektrumları . HA-LIG'in ¹³C-CPMAS NMR spektrumu (Şekil 2), toplam karbon içerīğinin sı̄rasıyla %28.7 ve %42.2'sini temsil eden apolar alifatik ve aromatik bileşenlerin baskınlılı̄ ğı̄ nı̄ doğruladı (Tablo 2). 33 ve 128 ppm'deki iki ana rezonans, sı̄rasıyla uzun alkil zincirlerinde ve C-ikameli aromatik bileşiklerde CH2 birimlerini belirtirken, 152 ppm'deki omuz fenolik karbonlara atfedilir (Şekil 2). HA-CYN'nin katı hal NMR spektrumunda farklı fonksiyonel gruplar arasında çeşitlendirilmiş bir Dağlı̄mı̄ bulunu (Tablo 2). 0-45 ppm aralı̄ ğı̄nda 30 ppm'de geniş rezonans etrafı̄ndaki farklı sinyaller, çeşitli lineer lipit bileşiklerinin alkil zincirlerindeki metil ve metilen grupları̄ndan kaynaklanırken, 40-45 ppm'deki daha az yoğun tepe noktaları̄ şunlardan kaynaklanabilir: sterol, favonoidler ve lignanları̄n toplanmış şalkaları̄ndaki üçüncü (CH) ve dördüncü (C-R) karbonlar²⁵. 57 ppm'deki belirgin rezonans, peptidik parçaları̄n C-N bağları̄nı̄n ek bir katkı sı̄yla birlikte, esas olarak aromatik lignin monomerlerindeki metoksi sütstituentlerine atenir. 60-110 ppm kimyasal kaymadaki Te sinyalleri, bitki dokuları̄ndan gelen karbonhidratlar ve polisakkaritlerdeki çeşitli C-O grupları̄na aittir. 110 ile 145 ppm arasındaki rezonans, aromatik karbonlarla ilişkilidir, bunu fenolik ve lignin türevlerindeki aril C-O grupları̄ndan biri (145-160 ppm) takip eder ve bunlar genellikle 145-60 ppm aralı̄ ğı̄ndaki rezonanslara karşılık gelir²⁴. 174 ppm'deki Te sinyali, yağ asitleri, esterler ve peptitler gibi farklı bileşiklerdeki karboksil karbonları̄ndan kaynaklanmaktadır. HA numunelerinin moleküler özellikleri, temel aliantran aromatiklik (ARM) ve hidrofobiklik (HB/HI) indeksleri ve alkil (A/OA) ve lignin (LigR) oranları̄ (Tablo 2) gibi boyutsuz yapısal parametrelerle anlaşılabılır. spektral aralı̄kları̄n entegrasyonū üzerine^{18,19,25}.

HA-LIG örneğinin gösterdiği büyük HB/HI ve ARM indeksleri ve A/OA oranı̄ dēerleri, alkil ve aromatik yapı̄ları̄n birleşik katkısı̄yla bu malzemeye sahip olanın büyük hidrofobik karakteri daha da vurgulamaktadır. Tersine, artan miktarında C-O ve C-N içeren bileşiklerle birlikte daha az aromatik ve alkil karbon içerīğine, HA-CYN için daha küçük HB/HI ve A/OA dēerleri belirledi (Tablo 2). İki HA arasında aril C'nin farklı bir moleküler bileşimi, HA-CYN için daha yüksek sonuç veren LigR oranı̄ (Tablo 2) tarafı̄ndan önerilmiştir, bu nedenle, metoksil grupları̄nın sinyalleri arasındaki korelasyonla teyit edilen, lignin kalīntı̄ları̄nın önemli bir mevcudiyetine işaret eder. (45-60 ppm) ve aril C-O molekülerinin (140-160 ppm), lignin türevlerinin termokemoliz analizleri^{18,19,25} tarafı̄ndan ortayaçıkarı̄lan HA-CYN'ye seçici olarak dahil edilmesini kabul eder.

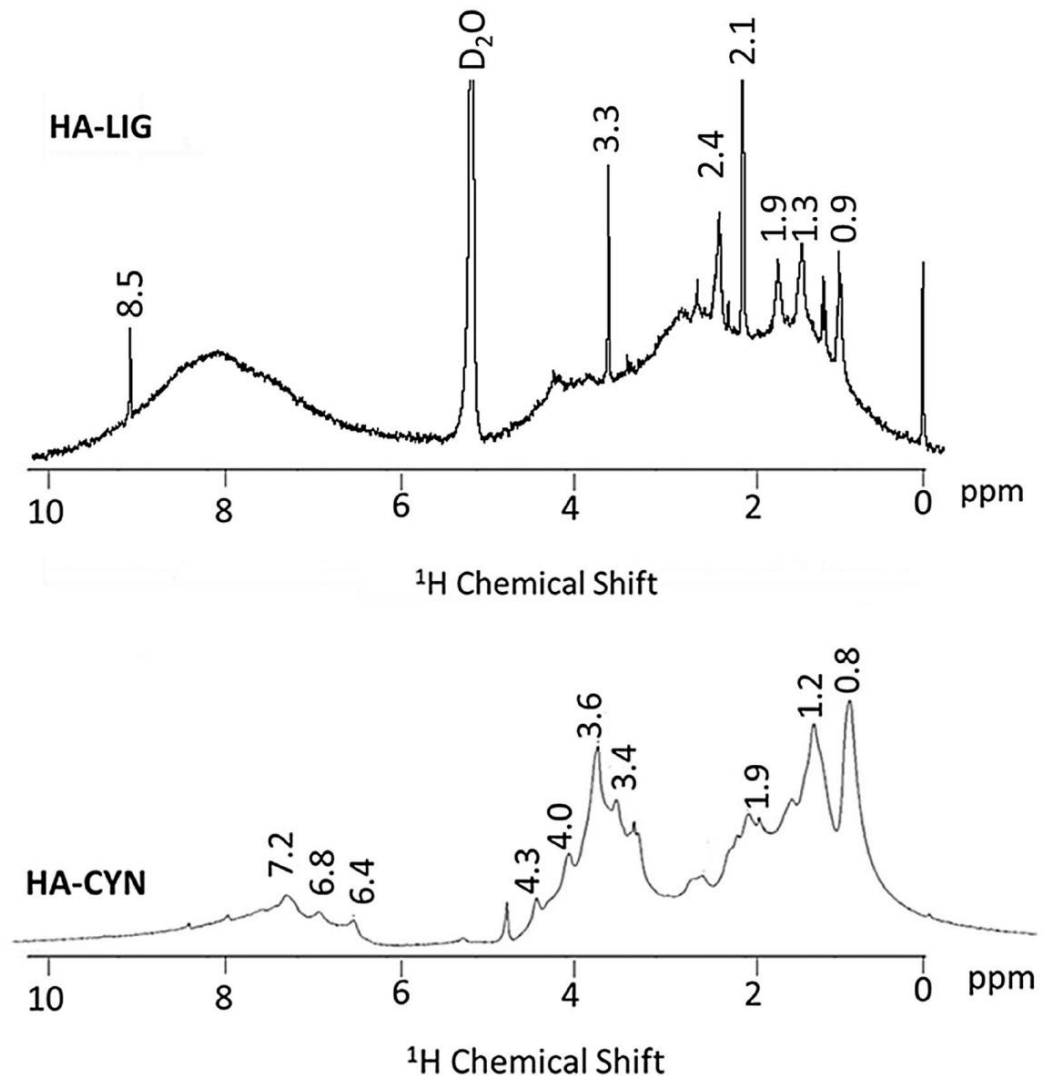
Tersine, HA-LIG'deki LigR dēerindeki azalma, ligninin metoksil grupları̄nın daha küçük bir içerīğini gösterdi.



Şekil 2. Linyit (HA-LIG) ve kompostlanmış enginar biyokütlelerinden (HA-CYN) hümik asitlerin ^{13}C CPMAS NMR spektrumları .

	Karboksil-C Fenol-C Aril-C O-Alkil-C Metoksil-C Alkil-C Yapısal indeksler								
HA-Lİ G	190-160	160-145	145-110	110-60	60-45	45-0	HB/HIa A/OAb ARMc LigRd		
HA-ÖN 10.9	6.1	9.6	33.0	12.8	9.8	28.7	2.49	2.27	1.02

Tablo 2. HA-LIG ve HA-CYN'nin ^{13}C CPMAS-NMR spektrumları üzerinde kimyasal kayma bölgeleri (ppm) üzerinden ana C yapıları üzerinde spektral verilerinden hesaplanan göreli katkı (%) ve yapısal indeksler . HB/HI=hidrofobiklik indeksi=[$(0-45)+(110-160)/\Sigma(45-60)+(60-110)+(160-190)$]. bA/OA=alkil/O alkol oranı $(0-45)/(60-10)$. c ARM=aromatiklik indeksi $[(110-160)/\Sigma(0-45)+(60-110)]$. dLigR=Lignin oranı $(45-60)/(140-160)$.

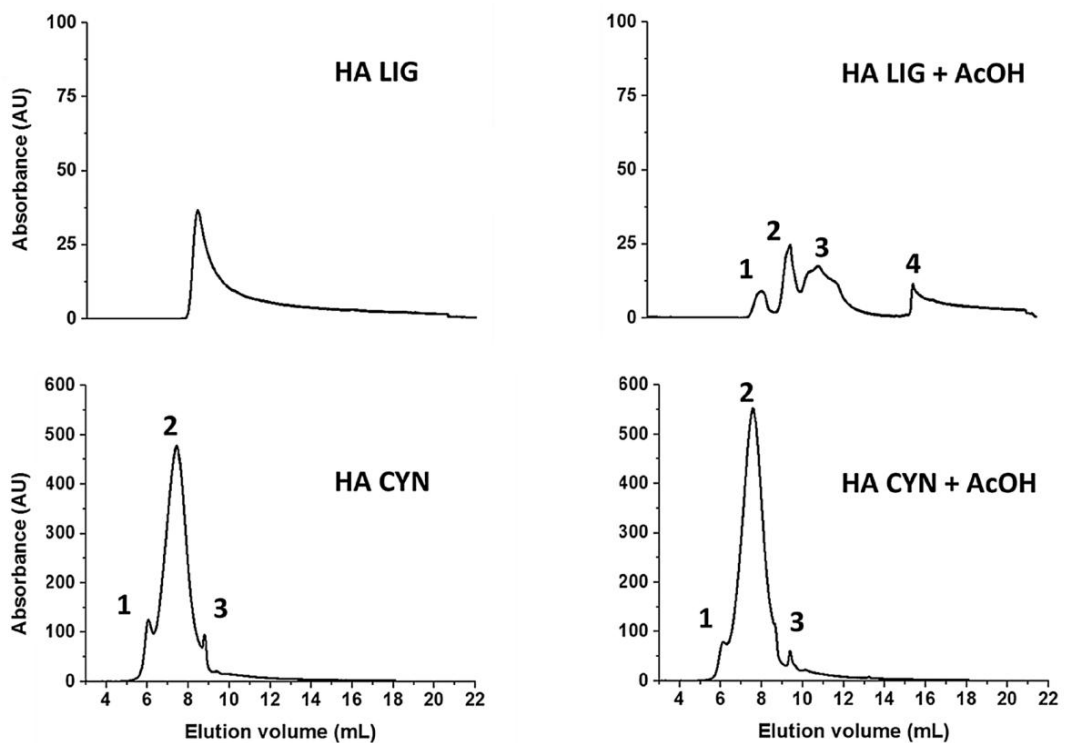


Şekil 3. Test sivi haldeki ¹Linyitten izole edilen HA'nın (HA-LIG) ve yeşil kompostun H-NMR spektrumları enginar kali nti lari (HA-CYN).

moleküller ve HA-LIG'in çi karı ldi ğ i linyiti oluşturan jeokimyasal işlemlerle türetilen fenol ve polifenolik bileşenlerin yaygı nli ğ i .

¹H NMR spektrumları . ¹HA-LIG ve HA-CYN'nin H NMR spektrumları (Şekil 3) üç ana bölgeye ayrı labilir: 0–3 ppm, alkilik bölge (çoğunlukla alifatik bileşenler); 3–5,5 ppm, O-Alkil bölgesi (yaygı n olarak oligo ve polisakkartitler); 6,5–8,5 ppm, aromatik bölge (esas olarak lignin bileşenleri)^{28,29}. HA- LIG'in 1H NMR spektrumu, 0,9^a 2,4 ppm'daki büyük rezonanstan çi kan birkaç keskin sinyal, O-Alkil bölgesinde 3,3 ppm'de tek bir baskı n sinyal ve aromatik ve heterosiklik bölgede gøze çarpan geniş bir rezonans gösterir. 7–8,5 ppm aralı ğ i ni n üzerindeki bölge. Bu spektrumun görünümü katı hal spektrumunun göstergeleriyle uyumludur ve yaygı n olarak alkil ve aromatik bileşikler içeren bu humik jeokimyasal kökenli maddenin yüksek hidrofobikliği ini doğ rular. Tersine, HA-CYN spektrumu, hem alkil hem de aromatik bölgede daha az yoğun bir rezonans, ancak O-alkil bölgelerinde daha büyük bir sinyal yoğunlu ğ u ortaya çi karı r. Yine, HA-CYN spektrumunun özellikleri, CPMAS spektrumu için zaten belirtildi ğ i gibi, bu malzemenin önemli ölçüde daha küçük hidrofobikliği ini ve yeşile dönüsen enginar kali nti lari ndan türetilen sakkaridik ve peptidik parçalar gibi polar alifatik bileşiklerdeki zenginliği ini doğ rular. HA-CYN'nin izole edildiği kompost.

HA'nın yüksek performanslı boyut di şlama kromatografisi (HPSEC). Hümik asitlerin pH'i ni 7'den 3,5'e düşürmek için hümik çözeltilerin asetik asitle işlenmesinden önceki ve sonrası HPSEC elüsyon profilleri, hümik asitlerin gevşek bağı supramoleküler birliliklerinin konformasyonel yapı si ni de¤ erlendirmek için kullanı lmı şti r^{30,31}. Hem HA-LIG hem de HA-CYN'nın asetik asit ilavesinden önceki ve sonrası kromatogramları Şekil 4'te gösterilmektedir. İki HA, farklı bir HPSEC davranışını sahipti. Aslı nda, HA-LIG tek bir tepe noktası gösterirken



Şekil 4. Numune pH'sını 7'den 3.5'e ayırmak için asetik asit (AcOH) eklenmesinden önce ve sonra HA-LIG ve HA-CYN'in HPSEC kromatogramları .

Örnek	Pik aralığı (mL)	Mw	Mn	P
KENDİ NI TUT	7,5-18,0	11.957 1774		6,7
HA LIG+AcOH-zirve 1	7,5-9,2	21.792 21.314 1,0		
HA LIG+AcOH-zirve 2	9,2-10,5	10.374 10.172 1,0		
HA LIG+AcOH-zirve 3	10,5-14,9	4238	3396	1,2
HA LIG+AcOH-zirve 4	15,2-22,3	180	87	2,1
HA PRE-zirve 1	4,7-6,3	86.258 85.187 1,0		
HA PRE-zirve 2	6,3-8,7	41.437 38.391 1,1		
HA PRE-zirve 3	8,7-9,3	18.489 18.412 1,0		
HA CYN+AcOH-zirve 1	4,7-6,3	84.536 83.560 1,0		
HA CYN+AcOH-zirve 2	6,3-8,7	37.934 34.658 1,1		
HA CYN+AcOH-zirve 3	9,2-9,6	13.783 13.724 1,0		

Tablo 3. Asetik asidin (AcOH) eklenmesinden önce ve sonra HA-LIG ve HA-CYN için UV tespiti HPSEC kromatogramları ndan hesaplanan ağırılık ortalaması (Mw) ve sayısal ortalaması (Mn) moleküler ağırılıkları ve polidispersite (P) . Standart sapma <5% idi.

pH 7'de enjekte edilen elüsyon profili, enjeksiyondan önce AcOH ile pH'sı 3.5'e ayarlandıktan sonra dört farklı zirvede bozuldu. Tersine, HA-CYN'nin elüsyon profili, AcOH eklenmesi nedeniyle daha büyük elüsyon hacimlerine kayması na rağmen, aynı üç piki ortaya çıktı karan iki tepe arasıında dağışmedi.

İki HA'nın farklı HPSEC davranışları şıkkı, kroma togramlarından hesaplanan parametrelerle yansıtıldı (Tablo 3). Örneğin, HA-LIG'in Ağırılık Ortalama moleküler ağırılığı (Mw), pH 7'de enjekte edilen malzemeden kromatogramını nı n yaygınlığından zirvesi için yaklaşık 11.960 Da iken, pH'sı 3.5'e ayarlanması ndan sonraki dört tepe Mw'nin yaklaşık 21.800, 10.370 olduğunu gösterdi., sırasıyla 4240 ve 180, daha büyük moleküler boyutlu malzemeye karşılık gelen daha küçük elüsyon hacimlerinde olandan daha büyük elüsyon hacimlerinde daha küçük moleküler boyutlu olana geçer. Tersine, HA-CYN durumunda, üç tepe noktası nı n MW'sı, AcOH ilavesinden önce ve sonra benzer degerlerini korudu, ancak sonraki işlem için gözlemlenen degerler öncükinden daha düşüktü bu nedenle daha büyük elüsyona kayan not edilen zirvelerle aynı fikirdeydi. hacimler (Şek. 4). Bu sonuçlar, HA'nın konformasyonel yapısı nı , daha güçlümoleküller arası hidrojen bağları nı n oluşumu nedeniyle AcOH ilavesi ile bozulabilen nispeten küçük heterojen moleküler arası ndaki dağılıma zayıf etkileşimleri ile stabilize edildiği ini açıklayan topraktan humusun supramoleküler anlayışıyla yorumlanabilir. den

önceki dağlılığı [kuvvetler26,30,31](#). Bu, dört pikteki malzeme dağlılığından daha küçük moleküllerin supramoleküller birliğinin düşündür HA-LIG için doğrulanırken, aynı şey HA-CYN için söylenemez. Aslında, ikinci konformasyonel düzene, çok unlukla mikrobiyal kompostlama sürecinden sağ kurtulan ve AcOH işleminin 32 bozulma kapasitesine dirençli olan kovalent bağılı biyopolimerler tarafından stabilize edilmiş gibi görülmektedir. Tese, varlığı [FTIR, NMR](#) ve termokemoliz sonuçları ile gösterilen polisakkaridik, peptidik ve polifenolik lignin fragmanları olabilir. Toplamda bu bulgular, HA-LIG'in HA-CYN'den nispeten daha küçük bileşiklerden oluştuğuunu, dolayısıyla önceki malzemeye ikincisinden daha büyük bir konformasyonel esneklik kazandırdığını göstermektedir.

HA'nın antifamatuar aktivitesi: HaCaT hücreleri üzerinde *in vitro* analizler. Hücre canlılığı, artan farklı HA-LIG ve HA-CYN konsantrasyonları ile Tripa mavisi yöntemiyle değil erlendirildi. İnsan keratinosit hücrelerinin her iki hümik ekstrakt ile muamelesi, uygulanan maksimum konsantrasyona rağmen men hücrelerin canlılığıını etkilememiştir ([Şekil S2](#)). Daha önceki çalışmaları [n33,34](#) aksine, [bu sonuçlar bu HA'ları](#) insan hücre kültürleri üzerindeki olası sitotoksik aktivitesini hariç tutar. Ek olarak, her iki HA ile aynı konsantrasyonda (50 µg mL⁻¹) ön işleme tabii tutulan HaCaT hücreleri, sadece Urban Dust ile tedavi edilen hücrelere kıyasla istatistiksel olarak anlamlı bir canlılık artışı gösterdi ([Şekil S2](#)). Aslında, HA-CYN ve HA-LIG uygulaması, ndan sonraki hücre canlılığı, tedavi edilmemiş kontrolün sırasına göre %87'si ve %82'siydi, oysa Urban Dust tarafı ndan enflamatuar stimülasyon, HaCaT hücrelerinin canlılığıını %62 azalttı ve aynı zamanda önceki çalışmaları [35](#) tarafı ndan gösterilmiştir. Bu sonuçlar hümik maddenin insan hücrelerinin hayatı kalması na yönelik koruyucu bir etkiye sahip olduğunu göstermektedir. Benzer bir davranış şeş, görünüşe göre RAW 264.7 insan hücre kültürlerinin [36](#) aktivitesini koruyan fulvik asitler tarafı ndan rapor edilmiştir.

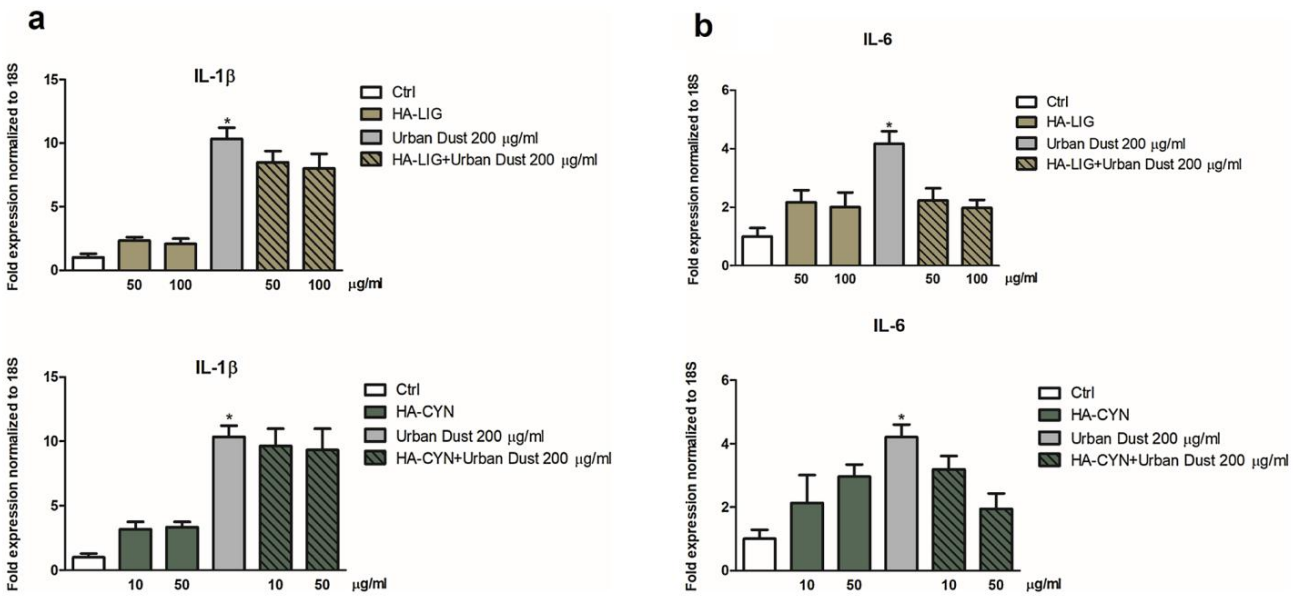
Doğal organik maddenin insan hücrelerinin aktivitesini koruma kapasitesi, yeni ve sürdürülebilir antioksidan sistemlerin geliştirilmesi için önemli bir ön koşuldur [37](#). Aslında, bir oksidatif hücre stresi tipik olarak ROS ile antioksidan sistem arası ndaki dengenin bozulduğuunu gösterir [38](#), böylece DNA modifikasiyonu ve lipid oksidasyonu veya peroksidasyonu [39](#) gibi oksidatif hasarlara neden olan hücrelerdeki serbest radikal içeriği inde bir artı şeş teşvik eder. Hümik maddelerin antioksidan ve koruyucu rolünü, reaktif oksijen türlerini hümik yapıya geri dönüşümlüve tekrarlanabilir bir süreçle bağlayarak inaktivite edebilen redoks özellikleri [40](#) ile ilişkili olabileceği öne sürülmüştür [41](#). Bu davranış şeş, Urban Dust tedavisine [42](#) rağmen men hümik madde ilavesinin HaCaT hücrelerinin normal çok olması, indüklediğiini gösteren sonuçları müziyi açıklamaktadır. Bununla birlikte, insan hastalıkları na karşılık HA biyoaktivitesinin moleküler temellerini açıklamak için henüz tek anlamlı bir yapı -aktivite ilişkisi üretilmemiştir. Bu çalışma, HA-CYN'nin koruma özellikleri, fenolik ve lignin bileşenlerinin büyük içeriği ile ilişkilidir ve mono ve oligo-hidroksillenmiş aromatik birimlerin koruyucu faaliyetler gösterdiği gösterilen fenolik maddelerle ilgili önceki çalışmaları [18,19,43](#). Benzer şekilde, HA-LIG'in koruma aktivitesi, hem NMR hem de termokemoliz sonuçları [nda](#) bildirildiği gibi hidrofobik bileşimi ile ilişkilidir ([Tablolar 2, S1, S2; Şekiller 1, 3](#)). Önceliği çalışma, bitki patojenlerine karşı hümik ve Hümik benzeri maddelerin (HULIS) teşvik ettiği antimikrobiyal aktivitelerin, spesifik moleküler [bileşimlerine](#) [18,19,44,45](#) bağlı olduğunu işaret ederken, kompost haline getirilmiş tarımsal biyokütlelerden izole edilen HA'nın ilk kez etkili olduğunu gösteriyoruz. insan hücreleri üzerindeki koruma özellikleri ve bu, test edilen hümik asidin moleküler bileşimine bağlıdır.

Urban Dust maruziyetinden sonra HA-LIG ve HA-CYN'nin IL-1 β ve IL-6 gen ekspresyonu üzerindeki etkileri. Te keratinosit modeli, bu hücrelerin derinin iç katmanları [nda](#) bulunmaları ve yabancı tahrîş edici maddelerle karşılaştırdığı öncü rolleri nedeniyle dermatolojide tahrîş edici maddelerin etkilerini değil erlendirmede yaygınlık olarak kullanılmıştır [46](#). Ayrıca keratin hücreleri, deri hücrelerinin iç katmanları [na](#) koruyan stratum corneum bariyerini korumak için çok önemli bir rol oynar [47](#). Ek olarak, keratinositler, kemokinler de dahil olmak üzere ikincil aracılıkları [na](#) yukarı regülyasyonunu ve salgılanması [na](#) indükleyen ve lökositlerin derinin hasarlı bölge sine doğrudu toplanmasıyla sonuçlanan çok çeşitli enflamatuar aracılıklar üretedebilir [48](#).

İnce tozun (FD) keratinositlerde enflamatuar yanıtlarla yol açtığı ve enflamatuar yanıtları muhtemelen proenflamatuar sitokin Interleukin-1 β (IL-1 β) [49](#) aracılık ettiği i makrofajlara aktardı [ğ](#) bildirilmiştir. IL-1 β , monositler ve makrofajlar [50](#) gibi doğuştan gelen bağlılığı [na](#) kloroz sistemi hücrelerin tarafı [na](#) üretilen ve salgılanan enfeksiyon ve yarananmaya karşı konakçı savunma tepkileri için çok önemli olan güçlendirici pro-enflamatuar sitokinidir. Bir sinyal sekansı olmadan üretilir ve geleneksel protein salgılama yolunu izlemez, bunun yerine bir veya daha fazla geleneksel olmayan salgılama yolunu kullanır [51](#). Tersine, interlökin-6 (IL-6), akut fazı sırası [nda](#) enfeksiyonu yanıt olarak geçici olarak üretilir. IL-6'nın sürekli düzensiz sentezi, normal ekspresyonu transkripsiyonel ve transkripsiyon sonrası mekanizmalar [52](#) tarafı [na](#) sırasıyla bir şekilde kontrol edilmesine rağmen, kronik enflamasyon ve otoimmünnite gibi patolojik bir etkiye indükledi. Ayrıca, IL-6, çevresel girdilere [35](#) bir epitel tepkisi indüklemekte çok önemli bir rol oynar.

Bu çalışma, IL-1 β ve IL-6'nın gen ekspresyonu, ön canlılık deneylerinde önerildiği gibi, HA-CYN ve HA-LIG'in Urban Dust ile tedavi edilen HaCaT hücreleri üzerindeki etkili antifamatuar etkinliği [ni](#) doğrulamak için değil erlendirildi ([Şekil 5](#)). Sonuçları müziyi, Urban Dust tarafı [na](#) uyarıldıktan sonra IL-1 β ve IL-6 gen ekspresyonunda önemli bir artı [sıra](#) olduğunu ortaya koydu ([Şekil 5a,b](#)). Tersine, HA-LIG veya HA-CYN ile muameleden sonra HaCaT hücrelerine Urban Dust uygulaması, sitokin ekspresyonunda bir azalmaya neden oldu ([Şekil 5a,b](#)). HA-LIG, daha az IL-1 β ekspresyonu indükleyerek HA-CYN'den daha etkiliydi, halbuki HA-CYN tedavisi, IL-6 durumunda biraz daha büyük bir anti-famatuar aktivite sergiledi. Ayrıca, HaCaT hücrelerinde enflamasyon sürecinin belirteç seviyelerinin analizi, Urban Dust'ı [na](#) neden olduğu enflamasyonu azaltmak için her iki hümik ekstraktı [na](#) yararlı etkilerini ortaya koydu ([Şekil 5a,b](#)).

Bu sonuçlar, *in vitro* [22,53](#) ile ilişkili sitokin salıncıklarının [na](#) üzerinde hümik tüberlerin inhibitör etkisini bildiren önceki çalışma [şablonlarla](#) uyumludur. HA'nın antifamatuar etkilerinin biyokimyasal açıklaması, doğuştan oluşan HA ve sentetik HA benzeri polimerler tarafı [na](#) araştıdonik asit (AA) zincirinin 5-liposikjenaz yolunun inhibisyonu ile ilişkilidir [53](#). Ayrıca, [için](#) kaynaklı [için](#) [na](#) [%65-90](#) oranında bastırılmış



Şekil 5. Hücresel IL-1 β (a) ve IL-6 (b) seviyeleri, 2 saat boyunca HA-LIG veya HA-CYN ile ön işleme tabi tutulmuş ve ardi ndan 200 $\mu\text{g}/\text{mL}$ -1 eklenmiş HaCaT hücrelerinden peletlerde ölçüldü Urban Dust, işlenmemiş hücrelerin ilk kontrolüne (Ctrl) ve yalnızca 200 $\mu\text{g}/\text{mL}$ -1 Urban Dust ile işlenmiş hücrelerin ikinci kontrolüne karşı . Urban Dust ile işlenmiş hücrelerin istatistiksel önemi, işlenmemiş kontrol hücrelerinde %100 IL-1 β ve IL-6 oranı na göre belirlendi (*). Veriler, her biri üç kopya halinde gerçekleştirilen üç bağımsız deneyin ortalama \pm SD'si olarak ifade edildi. Anlamlı farkları hesaplamak için Student t-testi kullanıldı ($*P<0.05$).

Kafeik asit oksidasyonu (KOP) ile elde edilen doğal sodyum humatlar veya hümik benzeri ürünler tarafından AA salımlı , HA'nın antifflammatory malzemeler olarak karakterizasyonunu destekledi22. Öte yandan, hümik maddelerin *in vitro* olarak, ancak yalnızca eksojen lipopolisakkartilerin varlığından inflamasyona yol açan TNF- α gibi proinflamatuar sitokinlerin salımıını uyarıcı bulmuştur; normal koşullar54. Ek olarak, potasyum humatları n lenfosit hücrelerinin çoğalması üzerinde olumlu bir etkiye neden olduğu bildirilmiştir20. Bu durumda, hücre proliferasyonu, sitokinlerin sentezi ve bu aracılar için T hücresi yüzey reseptörlerinin ekspresyonu ile karakterize edilen otokrin büyümeye yoluna bir yanıttı olarak ve ayrıca IL-2 gibi birincil otokrin büyümeye faktörünün üretimi ile artmıştır. ve IL-2 reseptörünün (CD25)55 geliştirilmiş ifadesi.

Bulgularımızda, HaCaT hücreleri üzerindeki etkiyi moleküler bileşimle ilişkilendirmek için yenilikçi bir yaklaşım temsil ediyor. hümik madde.

Birkaç çalışma, hümik maddenin, ayrıca HA'nın farklı konformasyonel yapıyı gösterdiği ve HA-LIG ile HA-CYN arasındaki konformasyonel yapıyı moleküler bileşimin birlikte oluşturduğu kombinasyona dayanır57. Aslında, tedavi edilen HaCaT hücreleri üzerindeki antifamatuar aktivitelerde HA-CYN ve HA-LIG arasındaki fark, NMR, termokromoliz ve HPSEC sonuçları ile gösterildiği gibi, kullanılan HA'nın farklı moleküler ve konformasyonel özellikleri ile açıklanır. Urban Dust'tan önce 50 $\mu\text{g}/\text{mL}$ -1'de eklenen HA-LIG tarafından IL-6 ve IL-1 β enflamatuar sitokin salımımları inhibisyonu, baskınlı hidrofobik özellikleri (yüksek HB/HI indeksi) ile ilişkili olabilirken, daha hafif inhibisyon HA-LIG'in aynı konsantrasyonunda HA-CYN tarafından IL-1 β sitokinin yüksek oranda artması, polifenolik lignin bileşenlerinin geniş içeriğine bağlılanabilir.

AcOH ilavesinden sonra HPSEC elüsyon profillerindeki değişimler ortaya çıktı ve HA'nın farklı konformasyonel stabilitesi, HA'nın antifflammatory davranışını na katkıda bulunan ek bir faktörde temsil edebilir (Tablo 3, Şekil 4). Bununla birlikte, hücre canlılığındaki durumunda (Şekil S2), hem HA-LIG hem de HA-CYN, önceden farklı moleküler ilişkilerden oluşan bir bulunuşuna na rağmen, aynı pozitif koruyucu etkiye gösterildiği. Bu, hücre canlılığındaki korunması nedeniyle etkinliğinden konformasyonel stabiliteden ziyade HA moleküler bileşiminin sorumlu olduğuunu gösterir. Özellikle, HB/HI, ARM ve A/OA indekslerinin büyük değişiklikler ile gösterildiği gibi HA-LIG'deki hidrofobik bileşenlerin içeriği ve HA-CYN'deki lignin türevli polifenollerin miktarı, Her iki malzemeyi de hücre korumasına etkili kılmak için büyük LigR oranı (Tablo 2). Bu bulgu, fenolik bileşenlerin insan kronik hastalıklarla ilişkili baskılılığı gösteren önceki çalışmaları ve moleküler boyuttan ziyade hidrofobiklik ve fenolik içeriği bitki kök hücrelerinin aktivitesini uyarıcı bulmuştur. Tersine, HA-LIG'in hem IL-1 β hem de IL-6 sitokinlerinin ekspresyonunu bastırıcı İmaksi ndaki daha büyük etkisi (Şekil 5a,b), bu malzemenin HA-CYN'den daha düşük konformasyonel stabilitesi ile açıklanabilir. daha sert bir konformasyonel yapı . Aslında, HA-LIG yapısı, HaCaT hücreleriyle etkileşime girerek daha küçük hümik üst yapıları lara bölünebilir ve aynı zamanda iltihaplanmayı önleyen azaltan küçük biyoaktif fenolik moleküller serbest bırakır.

Tersine, HA-CYN durumunda, gözlenen konformasyonel kararlılığına benzer bir bozulmayı önler.

HA-LIG kadar kolay bir şekilde daha küçük agregatlar ve biyoaktif molekülerin salınması, böylece Urban Dust ile tedavi edilen HaCaT hücrelerinde daha az sitokin baskılaması gösterir.

Çalışmamızı nesne ramları. Bu çalışma amacı, iki doğal kaynaktan ekstrakte edilen iki karakterize edilmiş humik asitlerin (HA) anti-inflamatuar özelliklerini araştırmaktır. HA arasındaki moleküler farklılıklarlar kapsamlı bir şekilde açıklandı. Bu çalışma, bu doğal molekülerin farklılıklarının kompost humusunun yalnızca humik asit fraksiyonunu kullanmış olması olduğunu ve tek başına fulvik asitlerin veya ikisinin bir karışımı mı yoksa HA ve FA farklı sonuçlar ortaya çıkabileceğini varsayıyoruz. anti-enflamatuar süreçler. Bununla birlikte, tam da bu nedenle, HA'nın moleküler yapısı ile biyolojik aktivitesi arasında gözlemlenen ilişki, HA fraksiyonunun spesifik bir anti-enflamatuar aktivitesini tanımladığı için çalışma sonuçları doğrultuda büyük bir rol üstlenmektedir.

Çalışmamızı nesne bir eksikliği, anti-enflamatuar aktiviteyi tek bir hücre hattında değerlendirmiş ve sonuçları da önemli inflamatuar sitokinleri ölçümü olabilir. IL-6 ve IL-1 β 'yi iki enflamasyon belirteci olarak tercih ettiğimiz, sitokin yolunun inflamatuar stimülasyona karşı oldukça hassas moleküller olarak rollerini gösteren önceki çalışma dayanmaktadır^{58,59}, böylece humik maddenin önbiyobelirteçleri olarak seçimlerini haklılığı karmaktadır. biyoaktivite.

Bu düşüneler, tıbbi uygulamalardaki 60 humik malzemelerin yararları özelliklerini daha ayrıntılı olarak araştırmak ve bunları antienflamatuar özelliklerini sabitlemek için moleküler ve hücresel mekanizmaları belirlemek için daha fazla araştırma yapılması gerekliliğini ima eder. Bununla birlikte, benzeri görülmemiş sonuçları doğrultuya, insan keratinositleri üzerinde iyi karakterize edilmiş humik maddenin anti-enflamatuar aktivitesine ilişkin daha fazla araştırma teşvik edebileceğini inden, çalışma nesne öncügeçerliliğine inanırız.

Sonuçlar Hümik

maddelerin tıbbi uygulamaları, bu maddelerin anti-viral, antifamatuar, antioksidan, anti-tümör ve anti-toxin özellikleri ile ilgilidir. Bulgularımız, özellikle linyit gibi yenilenemeyen bir jeokimyasal yataktan ya da yeşil kompost gibi yenilenebilir ve sürdürülebilir bir kaynaktan izole edilen iki farklı HA'nın antifamatuar aktivitelerini gösterdi. Moleküler bileşimlerdeki farklılıklar, FTIR spektrometrisi, NMR spektroskopisi, GC-MS ile ilişkili hatları sınıflandırmak için termodemoliz ile de değerlendirilirken, konformasyonel yapıları HPSEC ile de değerlendirildi. Spesifik deneylerden elde ettik imiz sonuçlar, HaCaT hücreleri üzerindeki HA anti-enflamatuar aktivitelerinin, kısmen aromatik bileşikler ve polifenolik lignin fragmentleri tarafından sağlanan hidrofobik özellikleriyle ve kısmen supramoleküler birliklerinin konformasyonel stabilitesiyle ilişkili olduğunu göstermektedir.

Bu çalışma, HA moleküler özellikleri ile gözlenen biyoaktiviteleri arasında bir ilişki kurmaya çalışarak, Urban Dust tarafından uyarıldıktan sonra bir keratinosit modelinde ve bunun sonucunda IL-1 β ve IL-6 sitokinlerinin HaCaT hücrelerin üretimi üzerinde HA biyoaktivitesini yenilikçi bir şekilde değerlendirdi. HA biyoaktif özelliklerinin, yalnızca hedef hücrelerin yüzeyine yapışmasını destekleyen ve genel hücre canlılığını artırıp hidrofobiklik derecelerinden dolayı, aynı zamanda moleküler karmaşık yapıları nedeniyle konformasyonel düzenlenmesinden kaynaklandığı gösteriliyor. Daha az kararlı konformasyonla ilişkili HA'nın, hücrelerle etkileşimi halindeki biyoaktif bileşenlerin salınması kolaylaşacaktır ve enflamatuar sitokinlerin hücresel ekspresyonunu azaltabileceğini bulduk. İyi karakterize edilmiş HA ile bunları önbioaktivitesi arasında bir yapı-aktivite ilişkisi çizmek için gerekli unsuru bu önbioaktiviteyi doğrulayan dermatolojik alanda doğal sürdürülebilir malzemelerin potansiyel kullanımını desteklemeye önemli bir adım oluşturduğuna inanırız.

Malzemeler ve yöntemler Hümik

asitlerin (HA) ekstraksiyonu. Hümik asitler, hem bir Kuzey Dakota linyitinden (HA-LIG) hem de enginar artıklarından (HA-CYN)^{18,19} yapıları lan yeşil bir komposttan ekstrakte edildi. Yeşil kompost, Castel-Volturino'daki (CE) Napoli Üniversitesi Federico II Deneyel Çiftliği'nin kompostaştırılmış ruma tesisinde üretildi ve enginar üretiminin kalınlığıları nedeniyle 70/30 w/w oranında kavak budaması nedeniyle edilen talaşlarla karıştırılmıştı. Çiftlikte kompostaştırılmış ruma işlemleri, delikli lastik borular ve döner bir pompadan oluşan bir hava emme sistemi üzerinde yapılmıştır. İstatistiksel olarak, bu işlemlerde de aynı zamanda moleküler karmaşık yapıları nedeniyle konformasyonel düzenlenmesinden kaynaklandığı gösteriliyor. Daha az kararlı konformasyonla ilişkili HA'nın, hücrelerle etkileşimi halindeki biyoaktif bileşenlerin salınması kolaylaşacaktır ve enflamatuar sitokinlerin hücresel ekspresyonunu azaltabileceğini bulduk. İyi karakterize edilmiş HA ile bunları önbioaktivitesi arasında bir yapı-aktivite ilişkisi çizmek için gerekli unsuru bu önbioaktiviteyi doğrulayan dermatolojik alanda doğal sürdürülebilir malzemelerin potansiyel kullanımını desteklemeye önemli bir adım oluşturduğuna inanırız.

HA, 100 g humik maddenin (sırasıyla enginar kompostu ve Kuzey Dakota linyiti) 1000 mL 1 M KOH çözeltisi içinde süspansiyon edilmesi ve karıştırımı 24 saat mekanik olarak çalıkanmasıyla elde edildi. Süspansiyon daha sonra 7000 rpm'de 20 dakika centrifugalandı ve supernatant cam yüzünden sızdı. Ekstraksiyon iki kez tekrarlandı. Birleştirilen özler, 6 M HCl ile pH 1'e asitlendirildi ve 24 saat oturmaya bırakıldı. Son, numuneler 4000 rpm'de 20 dakika centrifugalandı ve HA tortuları, Cl içermeyene kadar deionize suya karşı diyalize edildi (1kD cutoff Spectrapore membranları). Te HA daha sonra daha fazla analitik karakterizasyon için dondurularak kurutuldu. 2 mm'de elendi ve sonraki analizlere kadar 4 °C'de saklandı.

HA'nın element analizleri ve FTIR-ATR spektroskopisi. HA-LIG ve HA-CYN'in element bileşimi, bir Fison EA 1108 Elemental Analyzer ile belirlendi. Kızılıtıcı (IR) spektrumlar, bir elmas/ZnSe kristalli ile donatılmış yarıflatır. İstatistiksel olarak toplam refleksiyon (ATR) cihazı kullanılarak bir Perkin-Elmer Frontier Fourier dönüşümü kızılıtıcı spektrometre üzerinde kaydedilmiştir. Kristal cihaza yaklaşım 2 mg ince öğütülmüş toz yerleştirildi ve numuneye yaklaşım 150 N'luk bir kuvvet uygulanarak temas sağlandı. Her spektrum, 4000–400 cm⁻¹ de 4 cm⁻¹ çözünürlükle 32 taramaya tabi tutuldu. 1 bölge.

Ofin pirolizi TMAH-GC-MS of HA. HA numuneleri (500 mg) bir kuvars teknelye yerleştirildi ve 1 mL TMAH (metanol içinde %25 çözeltisi ile nemlendirildi. Karışımı hafif bir nitrojen akışı altında kuruttuktan sonra, kuvars teknesi bir Pyrex boru biçimli reaktöre (50 cm x 3.5 cm iç çap) yerleştirildi ve 400 °C'de 30 dakika süreyle ısıtıldı.

bir fırın (Barnstead Termolyne 21,100). Termokemolizle salınan ürünler, bir helyum akışıyla (20 mL dk⁻¹) çevrimi olarak buz/tuz banyoları nda tutulan bir dizi iki kloroform (50 mL) tuzağına aktarıldı. Ekstraktlar, rota-buharlaştırmaya ile konsantre edildi. Tortu, 1 mL kloroform içinde yeniden süspansedildi ve GC-MS analizi için bir cam şişeye aktarıldı. Te GC-MS analizleri, birinci tmali transfer hattı (250°C) aracılığıyla birleştirilmiş bir RTX-5MS WCOT kapiler kolon (Restek, 30 m×0,25 mm; film kalınlığı 0,25 µm) kullanılarak bir Perkin-Elmer Autosystem XL ile gerçekleştirılmıştır. °C, bir PE Turbomass-Gold dört kutuplu kütle spektrometresine. Kroma tografik ayırmaya şu programla gerçekleştirılmıştır: 60 °C (1 dk izotermal), hız 7 °C dk⁻¹ ila 320 °C (10 dk izotermal). Taşıyıcı gaz olarak helyum 1,60 mL dk⁻¹'de uygulandı, enjektör sıcaklığı 250 °C'de, bölünmüş enjeksiyon modunda 30 mL dk⁻¹ bölünmüş akış vardı. Kütle spektrumları, EI modunda (70 eV), 45–650 m/z aralığında, 1 s döngüsüyle taranarak elde edildi. Bileşik tanımlaması, kütle spektrumlarıının NIST kitaplığı veritabanı, daha önce yayılan en fazla spektrumlar ve standart ile karşılaştırıldı. İmzası na dayanı yordu.

HA'nın NMR spektroskopisi. Katı hal HA spektrumlarıını elde etmek için 4 mm geniş delikli MAS probu ile donatılmış 300 MHz Bruker Avance spektrometresi kullanıldı. Her bir ince toz numune (5 mg), bir Kel-F kapak ile donatılmış 4 mm'lik bir zirkonyum rotora paketlendi ve 13,000±1 Hz hızında döndürüdü 13C NMR spektrumları, 2 s geri dönüşüm gecikmesi, 1 ms temas süresi, 30 ms edinme süresi ve 4000 tarama kullanılarak Çapraz Polarizasyon Sihirli Açı Döndürme (CPMAS) tekniği ile elde edildi. HA'nın sıvı hal NMR spektrumları, 5 mm Bruker BBI (Geniş Bant Ters) probu ile donatılmış 400 MHz Bruker Avance spektrometre üzerinde gerçekleştirildi. Her numune (5,0 mg mL⁻¹) çözütmeli su ile çözüdüve 5,0 mm'lik kuvars tüpe yerleştirildi. 1H NMR spektrumları, 2 s termal denge gecikmesi, 8,5 ve 9,5 µs arası hızda değisen 90° atım uzunluğu, 32,768 zaman alanı noktası ve 64 geçici olay ile elde edildi.

Yüksek performanslı boyut dışlama kromatografisi. HPSEC sistemi, bir Rheodyne döner enjektör ve 100 µL numune halkası ve 280 nm'ye ayarlanmış bir UV/VIS detektörü (Perkin Elmer LC295) ile donatıldı. Bir Shimadzu LC 10-AD pompası tarafından çalışıyordu. Bir PolySep™ GFC-P3000 300 × 7,80 mm (Phenomenex, ABD) kullanılmış ve öncesinde bir PolySep GFC-P 35 × 7,80 güvenlik koruması (Phenomenex, ABD) ve 2 mm'lik bir giriş filtresi kullanılmıştı. Elüsyon akışı hızı 0,6 mL dk⁻¹ 'e ayarlandı, elüsyon sıvısı ise 4,6 mmol L⁻¹ NaN₃ eklenmiş 0,1 mol L⁻¹ NaH₂PO₄ çözeltisinden (pH 7,0'da tamponlanmış) yapıldı. Kromatografik analizler öncesinde hem mobil faz hem de HA çözeltileri 0,45 µm Millipore filtreddeden geçirildi. Kolon kalibrasyonu, bilinen moleküller kütelere sahip sodyum polistiren sulfonatlar kullanılarak gerçekleştirildi: 123,000, 16,900 ve 6780 Da. Ayrıca düşük molekul ağırlıklı standartlar olarak ferulik asit (194 Da) ve katekol (110 Da) kullanılmıştı. Hümik asitler elüsyon çözeltisinde 0,6 g L⁻¹ konsantrasyonda çözündürüdü ve HPSEC ile elute edildi. Aynı hümik çözeltiler daha sonra bulzul asetik asit (AcOH) ile pH'ları nü 3,5'e düşürmek için ilave edildi ve tekrar HPSEC sistemine enjekte edildi. Molar kütle (MM) ve elüsyon hacmi (EV) arası hızda elde edilen ilişkiler şöyledi: log MM=0,1407 × EV+6,4077 (R²=0,996). Ağırılık Ortalaması (Mw) ve Sayı Ortalaması (Mn) molekü ağırlıkları ve polidispersite (P) hesaplandı. Mw ve P hesaplamaları Origin yazılımı (v. 9.1, Originlab) tarafından yapılmışken, kromatogramları kaydetmek ve detaylandırmak için bir Unipoint Gilson Yazılımı kullanıldı.

Anti-flamatuvar aktivite. Hücre kültürleri Ölümsüzleştirilmiş insan keratinositleri, HaCaT hücreleri, %10 fetal sıvı r serumu (FBS, GIBCO, Grand Island, NY), 2 mM 1-glutamin (GIBCO, Grand) içeren Dulbecco'nun deģışirilmiş Eagle ortamı hızda (DMEM, GIBCO, Grand Island, NY) büütüldü (Grand Island, NY) ve antibiyotikler (100 IU mL⁻¹ penisilin G, 100 µg mL⁻¹ streptomisin, GIBCO, Grand Island, NY, ABD). Hücreler, %5 CO₂ ile 37 °C'de nemlendirilmiş bir inkubatörde kültürlandı.

Kimyasallar. NIST (Gaithersburg, MD, ABD) tarafından sağlanan Urban Dust (SRM 1649b), fosfat tamponlu salin 1X (PBS, GIBCO, Grand Island, NY, ABD) içinde çözüldü ve topaklanmayı önlemek için 30 dakika ultrasonik banyoya tabi tutuldu ve içinde seyreltildi. 200 µg mL⁻¹ tedavi konsantrasyonunu elde etmek için DMEM. HA-LIG için 50 ve 100 µg mL⁻¹ ve HA-CIN için 10 ve 50 µg mL⁻¹ tedavi konsantrasyonunu elde etmek için HA-LIG ve HA-CIN ekstraktları PBS içinde çözündürülecek şekilde seyreltildi.

Tedavi. HaCaT hücreleri, yaklaşık %70'lük bir birleşme noktası na ulaşana kadar 3 mL taze kültür ortamı hızda 60 mm'lik kültür plakaları na kaplandı. Hücreler DMEM ile kaplandı ve Urban Dust 1649b ile bir 4 saat boyunca 200 µg mL⁻¹ konsantrasyonu.

Hücre canlılığıını analizi. Tedaviden altı saat sonra, Tripan mavisi yöntemiyle hücre canlılığı belirlendi. Hücreler iki kez PBS ile yıkandı, tripsin/EDTA ile 5 dakika inkubasyonu 1000xg'de santrifüjlendi. Hücre peleti, uygun bir PBS hacmi içinde yeniden süspansedildi ve 10 uL hücre süspansiyonu, 10 uL Tripan mavisi çözeltisi ile birleştirildi. Karışımı 15 dakika oda sıcaklığında inkubasyonu 10 uL Tripan mavisi hemasitometre boyanmamış hücrelerin (hayati hücreler) sayısi ve toplam hücre sayısi (hayati ve deģili) belirlendi (ölühücreler Tripan mavisi boyası na alacaktı).. Canlı hücrelerin yüzdesi, boyanmamış hücrelerin sayısi na toplam hücre sayısi na bölümlesiyle belirlendi.

RNA ekstraksiyonu ve gerçek zamanlı . Tedavi edilen HaCaT hücreleri, Sitokin seviyeleri açısı hızda deģerlendirildi. Üreticinin talimatları na göre RNeasy Mini Kit (Qiagen, Doncaster, Avustralya) kullanılarak toplam mRNA izole edildi. cDNA, Transcriptor High Fidelity cDNA Synthesis Kit (Roche, Indianapolis, IN, ABD) kullanılarak hazırlandı. Kantitatif ters transkriptaz polimeraz zincir reaksiyonu (qRT-PCR; LightCycler, Roche, Indianapolis, IN,

ABD) IL-6 ve IL-1 β gen ekspresyonunu dej erlendirmek için yapı ldı . PCR primerleri, yayınlanan dizilere dayalı olarak tasarlandı ve özgüllükleri, BLAST hizalama araştırması ile doğrulandı . Her numunede belirli bir gen için mRNA miktarı , aynı numunedeki 18S referans geninin mRNA miktarı na göre normalleştirildi.

İstatistik. Tüm istatistiksel analizler GraphPad Prism 4.0 (GraphPad Software Inc, La Jolla, CA, ABD) kullanılarak yapıldı . Normalilik testinden geçen veriler iki uclu t testi ile analiz edilmiştir. P<0.05 değeri anamlı kabul edildi.

Veri mevcudiyeti Bu

çalışma sırası nda oluşturulan veya analiz edilen tüm veriler, bu yayınlanan makaleye veya beraberindeki Ek Bilgi dosyaları na dahil edilmiştir.

Geliş tarihi: 28 Haziran 2021; Kabul tarihi: 24 Ocak 2022

Published online: 09 February 2022

Referanslar 1.

- Adame, JA, Notario, A., Villanueva, F. & Albala dejo, J. Orta-Güney İspanya'daki bir sanayi bölgesinde DOAS sistemi ile ölçülen yüzey ozon, NO2 ve SO2 gürültük kalıpları na küme analizi uygulaması . bilim Toplam Çevre. 429, 281–291. <https://doi.org/10.1016/j.scitotenv.2012.04.032> (2012).
2. Kılıç M. Yi lde 7 milyon ölüm hava kirliliğine bağlı . Cent. EUR. J. Halk Sağlığı 22, 53–59 (2014).
3. Manosalidis, I., Stavropoulou, E., Stavropoulos, A. & Bezirtzoglou, E. Hava kirliliğinin çevresel ve sağlığına etkileri: Bir gözden geçirme. Önc. Halk Sağlığı 8, 14. <https://doi.org/10.3389/fpubh.2020.00014> (2020).
4. Babadjouni, RM ve ark. Hava kirliliğinin merkezi sinir sistemi üzerindeki klinik etkileri; bir inceleme J. Clin. Nörobiyol. 43, 16–24. <https://doi.org/10.1016/j.jocn.2017.04.028> (2017).
5. Guo, H., Chang, Z., Wu, J. & Li, W. Çin'de hava kirliliği ve akciğer kanseri insidansı : Kim daha büyük bir etkiyle karşı karşıya? çevre. Int. 132, 105077. <https://doi.org/10.1016/j.envint.2019.105077> (2019).
6. Baek, JO, Cho, J. & Roh, JV Atopik dermatit için ortam hava kirliliği ile ilişkili bakteri m ziaretleri arasındaki ilişkiler. çevre. Res. <https://doi.org/10.1016/j.envres.2020.110153> (2021).
7. Farage, MA, Katsarou, A. & Maibach, HI Hassas ciltte duyusal, klinik ve fizyolojik faktörler: Bir gözden geçirme. İletişim Dermatit 55(1), 1–14. <https://doi.org/10.1111/j.0105-1873.2006.00886.x> (2006).
8. Abolhasani, R. et al. Hava kirliliğinin cilt ve ilgili bozukluklar üzerindeki etkisi: Kapsamlı bir derleme. Dermatol. Ter. <https://doi.org/10.1111/dth.14840> (2021).
9. Wang, J. ve ark. Hava kirliliğine maruz kalma, önceden KOAH'ı olan farelerde enfiamasyonu şiddetlendirir. medyat. Infamm. 8, 426024. <https://doi.org/10.1155/2020/426024> (2020).
10. Ferrara, F., Prieux, R., Woody, B. & Valacchi, G. Kirliliğe bağlı cilt koşulları nda rezil aktivasyon. plastik. Yeniden yapılandırıcı cerrahi 1, 147. <https://doi.org/10.1097/PRS.00000000000007617> (2021).
11. Rembieska, J., Ruzgas, T., Engblom, J. & Holefors, A. Kirliliğin cilt üzerindeki etkisi ve kirlilik önleme için uygun etkinlik testi iddiaları. Kozmetik 5, 4. <https://doi.org/10.3390/cosmetics5010004> (2018).
12. Cordell, GA Sürdürülebilir ilaçlar ve kürseler sağlığına hizmetleri. Quim. Nova <https://doi.org/10.1590/S0100-40422009000500047> (2009).
13. Fabbrocini, G. ve ark. Akne vulgaris tedavisi için resveratrol içeren jel: Tek kör, araç kontrollü pilot çalışması. Am. J. Clin. Dermatol. 12(2), 133–141. <https://doi.org/10.2165/11530630-000000000-00000> (2011).
14. Lembo, S. et al. Ellagik asit ve rosmarinat asidinin ultraviyole-B kaynaklı sitokin/kemokin geni üzerindeki modülatör etkisi cilt keratinosit (HaCaT) hücrelerinde ifade. BioMed. Res. Int. <https://doi.org/10.1155/2014/346793> (2014).
15. Di Caprio, R. ve diğerler. Süt devredenki ve zeytin özü Güneşin neden olduğu cilt hasarı na karşı yeni bir görevi olan eski maddeler. Giornale italiano Dermatol. Venereol. 155(3), 286–293. <https://doi.org/10.23736/S0392-0488.17.05726-1> (2020).
16. Varga, Z., Rafay, S., Sabzwari, A. & Vargova, P. Nonsteroid antiflammatory ilaçları kardiyovasküler riski: Yeterince tanılmayan bir halk sağlığı sorunu. Cureus 9(4), e1144. <https://doi.org/10.7759/cureus.1144> (2017).
17. Klöcking, R. & Helbig, B. Humik maddeler, tıbbi yönler ve uygulamalar. Biyopolim. Çevrimiçi <https://doi.org/10.1002/35276-0003.bpol1013> (2001).
18. Verrillo, M., Salzano, M., Cozzolino, V., Spaccini, R. & Piccolo, A. Farklı yeşil kompostlardan kimyasal olarak karakterize edilmiş kompost çayları na biyoaktivitete ve antimikrobiyal özellikleri. Atı K Yönetimi. 120, 98–107. <https://doi.org/10.1016/j.wasman.2020.11.013> (2021).
19. Verrillo, M., Cozzolino, V., Spaccini, R. & Piccolo, A. Yeşil komposttan elde edilen humik maddeler fesleğen yaprakları ndaki uçucu yağları na biyoaktivitesini ve antibakteriyel özelliklerini artırdı . r. kimya Biol. Teknoloji Agric. 8, 28. <https://doi.org/10.1186/s40538-021-00226-7> (2021).
20. Jooné, GK, Dekker, J. & van Rensburg, CE Oksihumatanın immün sistemi uyarıcı özelliklerinin araştırılması . J. Biosci. 58(3–4), 263–267. <https://doi.org/10.1515/znc-2003-3-421> (2003).
21. Van Rensburg, CE Hümik maddelerin antiinflamatuar özelliklerini: Küçük bir gözden geçirme. fitoter. Res. 29, 791–795. <https://doi.org/10.1002/ptr.5319> (2015).
22. Jansen Van Rensburg, CE & Naude, PJ Potasyum humat, kompleman aktivasyonunu ve inflamatuar üretimini engeller. in vitro sitokinler. Enflamasyon 32(4), 270–276. <https://doi.org/10.1007/s10753-009-9130-6> (2009).
23. Nuzzo, A., Buurman, P., Cozzolino, V., Spaccini, R. & Piccolo, A. Birbirincil bitki ortüşüdüzü altından toprak organik maddesinin kiralığınesi spektrumları . kimya Biol. Teknoloji Agric. 7, 6. <https://doi.org/10.1186/s40538-019-0172-1> (2020).
24. Savy, D., Cozzolino, V., Vinci, G., Nebbioso, A. & Piccolo, A. Farklı biyoenerji mahsullerinden elde edilen suda çözünürlük ligninler, mısırın (Zea mays L.) erken gelişimini uyarır . Moleküller 20(11), 19958–19970. <https://doi.org/10.3390/molecules20119671> (2015).
25. Monda, H., Cozzolino, V., Vinci, G., Spaccini, R. & Piccolo, A. Farklı kompostlanan şiyoküllerden suda ekstrakte edilebilen organik maddenin moleküler özellikleri bunları na tohum çimlenmesi ve erken büyümeye üzerindeki etkileri. bilim Toplam Çevre. 590–591, 40–49. <https://doi.org/10.1016/j.scitotenv.2017.03.026> (2017).
26. Piccolo, A., Conte, P., Trivellone, E., Van Lagen, B. & Buurman, P. Bir organik asitile etkileşimi takiben hazırlayıdı . HPSEC ile bir linyit hümik asitin heterojenliği in azaltır . Boyut ayrımları na PIR-GC-MS ve 1H-NMR spektroskopisi ile karakterizasyonu. çevre. bilim Teknoloji 36(1), 76–84. <https://doi.org/10.1021/es010981v> (2002).
27. Deport, C., Lemée, L. & Ambles, A. TMAc ther kullanılarak topraktan ve turbalarдан elde edilen hümik maddelerin karşılaştırması . İmzası mokemoliz. Org. Jeokimya. 37(6), 649–664. <https://doi.org/10.1016/j.orggeochem.2006.01.014> (2006).
28. Simpson, AJ McNally, DJ & Simpson, MJ Çevresel araştırmalar NMR spektroskopisi: Moleküler etkileşimlerden kürseler süreçler. Prog. Çekirdek Magn. yankı . Spectrosc. 58, 97–175 (2011).
29. Sun, J. et al. Seyreltik asidik çözeltide salınan biyökömür karbonunun moleküler özellikleri ve mısırlı tohumu çimlenmesi üzerindeki etkileri. bilim Toplam Çevre. 576, 858–867. <https://doi.org/10.1016/j.scitotenv.2016.10.095> (2017).

30. Piccolo, A., Conte, P. & Cozzolino, A. Mineral ve monokarboksilik asitlerin çözünmüş hümik asitin moleküler birlikteği i üzerindeki etkileri maddeler. EUR. J. Toprak Bilimi 50, 687-694. <https://doi.org/10.1046/j.1365-2389.1999.00276.x> (1999).
31. Piccolo, A. Hümik maddelerin supramoleküler yapı : Humus kimyası na dair yeni bir anlayış ve toprak Bilimi. Av. Agron. 75, 57e134 (2002).
32. Piccolo, A., Conte, P. & Cozzolino, A. Çözülmüş hümik maddelerin kromatografik ve spektrofotometrik özellikleri com makromoleküler polimerlerle karşılaştırıldı . Toprak Bilimi 166, 174-185 (2001).
33. Yang, HL, Lu, FJ, Wung, SL & Chiu, HC Hümik asit, kültürlenmiş endotel hücreleri tarafı ndan doku faktörünün ekspresyonunu indikler: Sitozolik kalsiyum ve protein kinaz C ile düzenleme. Tromb. Haemost. 71(3), 325-330. <https://doi.org/10.1055/s-0038-1642438> (1994).
34. Hseu, YC ve ark. Kuyruklu yi İdi z ve kardeş kromatik kullanarak insan periferik kan lenfositlerinde hümik asit kaynaklı genotoksitesi deň işim tahlili. J. Hazard. Anne. 153(1-2), 784-791. <https://doi.org/10.1016/j.hazmat.2007.09.024> (2008).
35. Liu, CW ve ark. PM2.5 ile indiklenen oksidatif stres, IL-6/AKT/STAT3/NF-κB'ye bağlı yol yoluyla akciğ epitel hücrelerinde hücreler arası adezyon moleküller ekspresyonunu artırdı. Fiber Toksikol. 15(1), 4. <https://doi.org/10.1186/s12989-018-0240-x> (2018).
36. Jayasoorya, RGPT ve ark. Fulvik asit, kanser hücre sine neden olan RAW 264.7 hücrelerinden hücre dişanti-kanser aracıları ni teşvik eder in vitro ölüm. Int. J. immunofarmakol. 36, 241-248. <https://doi.org/10.1016/j.intimp.2016.04.029> (2016).
37. Efimova, IV, Khilko, SL & Smirnova, OV Hümik asitlerin radikal zincir oksidasyon süreçlerinde antioksidan aktivitesi. Rus. J. Uygulama kimya 85(9), 1351-1354. <https://doi.org/10.1134/S1070427212090091> (2012).
38. Poljsak, B., Şüpüt, D. & Milišav, I. ROS ve antioksidanlar arasındaki dengenin sağlanması : Sentetik antioksidanlar ne zaman kullanılsın ? Oksit. İle. Hücre. Longev. 2013, 11. <https://doi.org/10.1155/2013/956792> (2013).
39. Barrera, G. Kanser ilerlemesi ve tedavisinde oksidatif stres ve lipid peroksidadıyon ürünləri. ISRN Oncol. <https://doi.org/10.5402/2012/137289> (2012).
40. Luciani, G. et al. Hibrit SiO₂ nanoyapıları nda hümik asitlerin kimyasal olarak sıkıştırılmış rımları , antioksidan özelliklerini ayarlar. kimyasfer 287, 1. <https://doi.org/10.1016/j.chemosphere.2021.131985> (2022).
41. Zykova, MV ve ark. Çeşitli orijinal turbalardan izole edilen hümik asitlerin fizikokimyasal karakterizasyonu ve antioksidan aktivitesi. Moleküller 23, 4. <https://doi.org/10.3390/molecules23040753> (2018).
42. Szot, K. ve ark. Hümik suyu hiperglisemik koşullar altında endotel hücreleri üzerindeki etkileri: Enflamasyonla ilişkili parametreler. Çevre. Jezikim. Sağılık 41(3), 1577-1582. <https://doi.org/10.1007/s10653-018-0238-1> (2019).
43. Vuolo, MM, Lima, VS & Maróstica Junior, MR Fenolik bileşikler: Yapı , sıvı flandi rıma ve antioksidan güç. Biyoakt. kompld. Sağlıklı ğa a Fayda Potansiyeli Uyg. <https://doi.org/10.1016/B978-0-12-814774-0.00002-5> (2018).
44. Pane, C., Spaccini, R., Piccolo, A., Celano, G. & Zaccardelli, M. Farklı çöftük içi kompostlaştırmaya yönelik teknolojilerde şekillendirilen kimyasal ve biyo-bazlı özellikleri ile ilişkili olarak tarımsal yeşil atık kompostları ni hastalı k baskılı lajıçılığı . Biol. Kontrol 137, 104026. <https://doi.org/10.1016/j.bioccontrol.2019.104026> (2019).
45. Verrillo, M. et al. Enerji bitkilerinden ve tarımsal-endüstriyel yan ürünlerden elde edilen ligninlerin antioksidan ve antimikrobiyal olarak deň erlendirilmesi malzemeler. J. Sci. Gi da Tari m. <https://doi.org/10.1002/jsfa.11629> (2021).
46. Nguyen, AV & Athena, MS Te, derinin bağılılığı kliksisteminin dinamikleri. Int. J. Mol. bilim 20(8), 2019. <https://doi.org/10.3390/jims20081811> (1811).
47. Hirabayashi, T. ve ark. PNPLA1, açılıseramid biyosentezini yönlendirek cilt bariyeri işlevinde çok önemli bir role sahiptir. Nat. komün. 8(1), 1-13. <https://doi.org/10.1038/ncomms14609> (2017).
48. Williams, IR & Kupper, TS Yüzde Bağılılığı kliksisteminin homeostatik mekanizmaları . Hayat Bilimi 58, 1485-1507. [https://doi.org/10.1016/0024-3205\(96\)00042-2](https://doi.org/10.1016/0024-3205(96)00042-2) (1996).
49. Fernando, IP ve ark. Keratinositlerde ve makrofajlarda kentsel ince toz partikülleri tarafından ortaya çıkan itihaplanma tepkilerinin, kahverengi bir alg ishige okamurae'den izole edilen difloretohidroksikarmalol tarafından inhibisyonu. Algler 32(3), 261-273. <https://doi.org/10.4490/algae.2017.32.8.14> (2017).
50. Mariathasan, S. & Monack, DM Infammosome adaptörleri ve sensörleri: Enfeksiyon ve itihaplanmanın hürce içi düzenleyicileri. Nat. Bağılılığı kliksisteminin 7, 31-40. <https://doi.org/10.1038/nri1997> (2007).
51. Lopez-Castejon, G. & Brough, D. IL-1β salgılama mekanizması ni anlamak. Sitokin Büyüme FaktörüRev. 22, 189-195. <https://doi.org/10.1016/j.cytofr.2011.10.001> (2011).
52. Enflamasyon, bağılılığı kliksisteminin hastalıktır. Tanaka, T., Narasaki, M. & Kishimoto, T. IL-6. Soğuk Kaynak Harb. Perspektif. Biol. 6(10), a016295. <https://doi.org/10.1101/cshperspect.a016295> (2014).
53. Junek, R. et al. Hümik asitlerin, farklı lasımları ş U937 hücrelerinden LPS ile indiklenen TNF-a salınlığı üzerindeki bimodal etkisi. Bitki ilaçları 16(5), 470-476. <https://doi.org/10.1016/j.phymed.2008.10.003> (2009).
54. Chen, D.-H. et al. Hümik asitin nötröfillerin yapı şanlılığı üzerindeki etkisi. Tromb. Res. 108(1), 67-76. [https://doi.org/10.1016/S0049-3848\(02\)00384-5](https://doi.org/10.1016/S0049-3848(02)00384-5) (2002).
55. Efektör yanıkları , tolerans ve immunoterapinin kavşağından Liao, W., Lin, JX & Leonard, WJ Interleukin-2, dokunulmazlık 38, 13-25. <https://doi.org/10.1016/j.imuni.2013.01.004> (2013).
56. Cozzolino, V. et al. Fosfat çözümbakteriler, hümik asitler ve arbustuk mikorizal mantarlar arasındaki işbirliği, toprak mikrobiyom kaymalarına neden olur ve bitki besin alımı artırır. kimya Biol. Teknoloji Agric. 8, 31. <https://doi.org/10.1186/s40538-021-00230-x> (2021).
57. Canellas, LP & Olivares, FL Herbaspirillum seropedicae tarafından sindirim sistemini rımları kolonizasyon hümik asit ile module edilir. Bitki Toprağı <https://doi.org/10.1007/s11104-017-3267-0> (2017).
58. Lembo, S. et al. Azeloglisin ve nikotinamid, inflamasyon yanıkları aracılıkları in vitro olarak aşırı regüle eder. Gıda Talya. Dermatol. Venereol. 152(1), 90-92. <https://doi.org/10.23736/S0392-0488.16.05229-9> (2017).
59. Tanaka, Y., Uchi, H., Hashimoto-Hachiya, A. & Furue, M. Triptofan fotoürüne FICZ, keratinositlerde oksidatif stres yoluyla IL1A, IL1B ve IL6 ekspresyonunu düzenler. Oksit. Med. Hücre. Longev. <https://doi.org/10.1155/2018/9298052> (2018).
60. Vitiello, G., Venezia, V., Verrillo, M., Nuzzo, A., Houston, J., Cimino, S., D'Errico, G., Aronne, A., Paduano, L., Piccolo, A., Luciani, G. Atıksudaki gram(-) patojenlere ve antibiyotik kontaminantlara karşı oldukça etkili antimikrobiyal ajanlar olarak hibrit hümik asit/titanyum dioksit nanomateryalleri. Çevre Res. 193, 110562. <https://doi.org/10.1016/j.envres.2020.110562> (2021).

Yazar katkıları MV, MP:

soruşturma; kavram sallaştırmacı; veri iyileştirme, resmi analiz, metodoloji, yazma—orijinal taslaç. DS, GC: metodoloji, veri iyileştirme, resmi analiz. RDP, MAL, SC: veri iyileştirme, resmi analiz. GF, AP: kavram sallaştırmacı, finansman sağlama, proje yönetimi, denetleme, yazma—inceleme ve düzenleme.

Çalışma şançı karlar
Yazarlar şançı karlar beyan etmemektedir.

Ek bilgiler Ek Bilgiler Çevrimiçi

sürüm, <https://doi.org/10.1038/s41598-022-06251-2> adresinde bulunan ek materyalleri içerir.

Yazı şmalar ve malzeme talepleri MV veya AP'ye gönderilmelidir.

Yeniden bası mlar ve izin bilgileri www.nature.com/reprints adresinde mevcuttur.

Yayıncı nı nı notu Springer Nature, yayılanan haritalardaki ve kurumsal ilişkilerdeki yetki iddiaları konusunda taraflı z kalır.



Açık Erişim Bu makale, orijinal yazar(lar)a ve kaynağı a uygun şekilde atıfta bulunduğu unuz sürece, herhangi bir ortam veya formatta kullanıma, paylaşımı, uyarlamaya, dağıtıma ve çoğu altmaya izin veren Creative Commons Atıf 4.0 Uluslararası Lisansı altında lisanslanmıştır. Creative Commons lisansı na bir bağlantı sağlayın ve de¤ işiklik yapıllı yapılmadığıını belirtin. Bu makaledeki görseller veya di¤er üçüncüşahıls materyalleri, materyalin kredi limitinde aksi belirtildikçe, makalenin Creative Commons lisansı na dahildir. Materyal, makalenin Creative Commons lisansı na dahil de¤ ilse ve kullanıma amaci nı z yasal düzenleme taraflı ndan izin verilmiyorsa veya izin verilen kullanımı aşısı yorsa, doğrudan telif hakkı sahibinden izin almanız gereklidir. Bu lisansı n bir kopyası nı görüntülemek için <http://creativecommons.org/licenses/by/4.0/> adresini ziyaret edin.

© Te Yazar(lar) 2022